

# 染料敏化太阳电池 CuAl<sub>2</sub>O<sub>4</sub>/TiO<sub>2</sub> 光阳极制备及性能

The Preparation and Properties of DSSC  
CuAl<sub>2</sub>O<sub>4</sub>/TiO<sub>2</sub> Photoanodes

胡志强<sup>1,2</sup>, 刘显卿<sup>1</sup>, 黄德锋<sup>1</sup>, 高宏<sup>2</sup>

(1 大连工业大学 化工与材料学院, 辽宁 大连 116034;  
2 大连交通大学, 辽宁 大连 116028)

HU Zhi-qiang<sup>1,2</sup>, LIU Xian-qing<sup>1</sup>, HUANG De-feng<sup>1</sup>, GAO Hong<sup>2</sup>

(1 School of Chemical and Material, Dalian Polytechnic University, Dalian 116034,  
Liaoning, China; 2 Dalian Jiaotong University, Dalian 116028, Liaoning, China)

**摘要:** 采用柠檬酸法制备了尖晶石型纳米晶 CuAl<sub>2</sub>O<sub>4</sub>, 将其添加到 P25(degussa, TiO<sub>2</sub>)中, 制备成 CuAl<sub>2</sub>O<sub>4</sub>/TiO<sub>2</sub> 薄膜光阳极, 并组装成染料敏化太阳电池(DSSC), 对其光电性能进行表征。结果表明: CuAl<sub>2</sub>O<sub>4</sub> 的加入, 电池性能得到提高; 当 CuAl<sub>2</sub>O<sub>4</sub> 含量为 2% (质量分数) 时, 与纯 TiO<sub>2</sub> 薄膜光阳极相比, 光电转化效率提高了 39.1%。

**关键词:** CuAl<sub>2</sub>O<sub>4</sub>; 光阳极; DSSC

中图分类号: TB34 文献标识码: A 文章编号: 1001-4381(2012)02-0063-04

**Abstract:** CuAl<sub>2</sub>O<sub>4</sub>/TiO<sub>2</sub> thin film photoanodes were prepared by doping spinel CuAl<sub>2</sub>O<sub>4</sub> nanocrystalline prepared by the citrate method into P25 (degussa, TiO<sub>2</sub>), and then assembled into Dye-sensitized solar cells(DSSC) and characterized the photoelectric properties. The results showed that performance of DSSC increase when doped CuAl<sub>2</sub>O<sub>4</sub>. When the doping amount is 2%(mass fraction), the photoelectric conversion efficiency was 39.1% higher than the pure TiO<sub>2</sub> thin film photoanodes.

**Key words:** CuAl<sub>2</sub>O<sub>4</sub>; photoanodes; DSSC

20世纪90年代, Gratze等<sup>[1]</sup>提出的染料敏化纳米晶二氧化钛太阳电池, 以其原料低廉和制备简单等优点, 受到广泛的关注。目前所报道的染料敏化太阳电池光电转换效率已达到了 11.1%<sup>[2]</sup>。但是制作 DSSC 光阳极的 TiO<sub>2</sub> 存在禁带宽度较宽(3.2eV), 不能吸收可见光区的能量, 受激发产生的光电子和空穴易复合等缺陷, 限制了 DSSC 的光电性能<sup>[3]</sup>。

尖晶石型 CuAl<sub>2</sub>O<sub>4</sub> 化合物具有较窄的带隙, 且结构稳定, 耐光腐蚀及优异的光催化性能等而受到广泛关注<sup>[4-6]</sup>。本研究制备了 CuAl<sub>2</sub>O<sub>4</sub>/TiO<sub>2</sub> 薄膜光阳极, 并组装成染料敏化太阳电池; 探讨了掺合量对染料敏化太阳电池开路电压( $V_{oc}$ )和电流密度( $I_{sc}$ )之间的影响; 分析 CuAl<sub>2</sub>O<sub>4</sub>/TiO<sub>2</sub> 薄膜光阳极作用。目的是拓展 TiO<sub>2</sub> 纳米粉体光谱响应范围, 提高染料敏化纳米晶 TiO<sub>2</sub> 太阳电池的光电性能。

## 1 实验

### 1.1 实验药品及设备

主要药品: P25, TiO<sub>2</sub>, degussa; 硝酸铜, 分析纯;

硝酸铝, 分析纯; 柠檬酸, 分析纯。

实验设备: XRD(日本理学 D/max-3B 型), 分析粉体的物相; UV-vis(美国 PerkinElmerLambda35), 测定粉体在紫外-可见光范围内的吸收光谱; 场发射扫描电子显微镜(日本 JEOL 公司, JSM-6700F), 分析样品表面形貌; 太阳光模拟器(美国 SS50A (AM1.5, 100mW/cm<sup>2</sup>) 型), Keithley 数字源表(美国 Keithley2400), 测试电池的电流-电压特性。

### 1.2 CuAl<sub>2</sub>O<sub>4</sub> 纳米粉体制备

将一定量的硝酸铜、硝酸铝和柠檬酸按 1:2:3 摩尔比例加入到一定量的去离子水中, 磁力搅拌使其完全溶解, 用氨水调节其 pH 值 2.5~3.0, 继续搅拌 30min; 80℃ 水浴中加热至凝胶状, 置于 150℃ 干燥箱中至紫罗兰色干凝胶, 然后在 800℃ 下煅烧 2h 得到尖晶石型 CuAl<sub>2</sub>O<sub>4</sub>。

### 1.3 CuAl<sub>2</sub>O<sub>4</sub>/TiO<sub>2</sub> 薄膜光阳极的制备及电池的组装

将制备好的 CuAl<sub>2</sub>O<sub>4</sub> 以质量比为 0%, 1%, 2%, 3% 摆合到 P25 中, 分别标记为样品 a, b, c, d。然后加入一定量的 OP 乳化剂、冰乙酸、乙醇制备成

$\text{CuAl}_2\text{O}_4/\text{TiO}_2$  浆料, 室温静止 15min 后, 用丝网印刷法在 FTO(掺杂氟的  $\text{SnO}_2$  导电玻璃) 玻璃上制备  $\text{CuAl}_2\text{O}_4/\text{TiO}_2$  薄膜。干燥后置于马弗炉中, 以 10°C/min 升温至 500°C 保温 30min, 自然冷却到室温, 浸入到 N719 染料中 10h 得到  $\text{CuAl}_2\text{O}_4/\text{TiO}_2$  薄膜光阳极。最后以  $\text{KI}/\text{I}_2$  为电解质, 铂电极为对电极, 组装成电池。

## 2 实验结果与分析

### 2.1 X 射线衍射分析

图 1 是纳米  $\text{TiO}_2$  粉体、500°C 热处理 30min 的掺合  $\text{CuAl}_2\text{O}_4$  的  $\text{TiO}_2$  粉体和制备的  $\text{CuAl}_2\text{O}_4$  纳米粉体的 XRD 图谱。

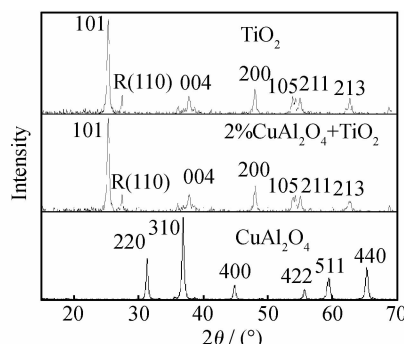


图 1  $\text{TiO}_2$  粉体、 $\text{CuAl}_2\text{O}_4/\text{TiO}_2$  粉体和  $\text{CuAl}_2\text{O}_4$  粉体的 X 射线衍射图

Fig. 1 XRD patterns of the  $\text{TiO}_2$  powders,  $\text{CuAl}_2\text{O}_4$  powders and  $\text{CuAl}_2\text{O}_4/\text{TiO}_2$  composite powders

从图 1 中可以看出 800°C 下制备的样品出现了  $\text{CuAl}_2\text{O}_4$  的特征衍射峰, 与  $\text{CuAl}_2\text{O}_4$  的标准 PDF(33-0448) 卡片的衍射峰相一致, 说明制备的样品具有  $\text{CuAl}_2\text{O}_4$  尖晶石型结构。根据 Scherrer<sup>[7]</sup> 公式计算出晶粒的平均尺寸为 30.32nm, 与 P25 大小相匹配。另外, 由于实验选用掺合浓度较小(0~3%), 因此掺合的  $\text{CuAl}_2\text{O}_4$  并未改变  $\text{TiO}_2$  的特征衍射峰峰位, XRD 图中也未发现  $\text{CuAl}_2\text{O}_4$  的特征峰。

### 2.2 紫外-可见光谱分析

图 2 为  $\text{CuAl}_2\text{O}_4$  粉体的紫外-可见吸收光谱。从图 2 可以看出,  $\text{CuAl}_2\text{O}_4$  粉体的吸收遍及紫外区和整个可见区; 除在紫外区有较高的吸收外, 在可见光区 390~780nm 范围内也有较好的吸收。对于直接跃迁型半导体, 其吸收边附近的吸收系数满足关系式(1):

$$A = \frac{C(h\nu - E_g)^{1/2}}{h\nu} \quad (1)$$

其中,  $A$  为吸光度,  $h$  为普朗克常数,  $\nu$  为入射光子的频

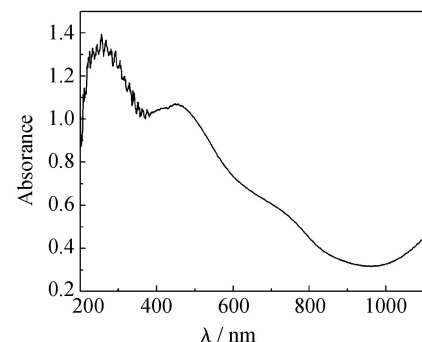


图 2  $\text{CuAl}_2\text{O}_4$  粉体的紫外-可见光谱图

Fig. 2 UV-Vis spectrum of the  $\text{CuAl}_2\text{O}_4$  powders

率,  $E_g$  为禁带宽度,  $C$  是一个与折射率、直接跃迁的矩阵元等有关的常数; 取  $C=1$ , 以  $(A \times h\nu)^2$  为纵坐标,  $h\nu$  为横坐标, 得到  $(A \times h\nu)^2$  与  $h\nu$  的关系曲线(见图 3); 将曲线中直线部分外延至  $(A \times h\nu)^2=0$  与  $x$  轴的交点即为禁带宽度  $E_g^{[8,9]}$  原字符串。由图 3 可得到  $\text{CuAl}_2\text{O}_4$  的禁带宽度约为 1.9eV; 说明  $\text{CuAl}_2\text{O}_4$  是窄禁带化合物。掺合到 P25 中, 对拓展  $\text{TiO}_2$  的光响应范围将产生积极的影响。

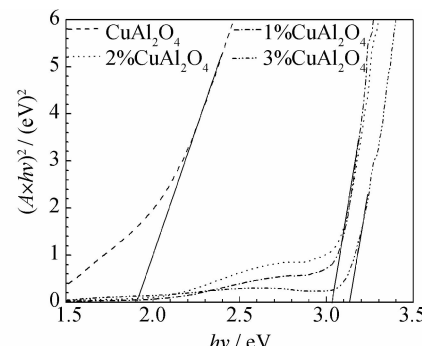


图 3  $(A \times h\nu)^2 - (h\nu)$  的关系图

Fig. 3 Curve as  $(A \times h\nu)^2$  vs  $(h\nu)$

图 4 是不同掺合量的紫外-可见吸收光谱曲线。从图中可以看出: 与纯  $\text{TiO}_2$  相比, 在可见光区内  $\text{CuAl}_2\text{O}_4/\text{TiO}_2$  的吸光度明显提高, 而且随着掺合量的增加, 吸光度也不断增加; 这可能是掺合后,  $\text{CuAl}_2\text{O}_4$  的引入, 吸收增强, 拓展了  $\text{TiO}_2$  的光谱响应范围, 吸收边发生红移,  $\text{CuAl}_2\text{O}_4/\text{TiO}_2$  的禁带宽度减小(见图 3)。另外, 掺合后的  $\text{TiO}_2$  在近红外区表现出较好的吸收率, 这可能是掺合后的  $\text{TiO}_2$  半导体中自由载流子增多, 自由载流子以及与杂质( $\text{CuAl}_2\text{O}_4$ )相联系的电子跃迁及晶格振动可引起吸收, 其吸收通常在红外光谱区, 随着掺合量的增加, 这种现象越加明显。

当掺合量为 3% 时, 吸收反而降低(见图 4)。这可

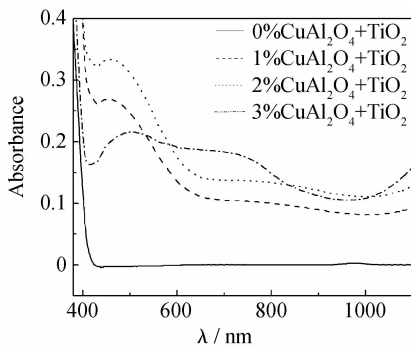


图 4 不同掺合量的紫外-可见吸收光谱图

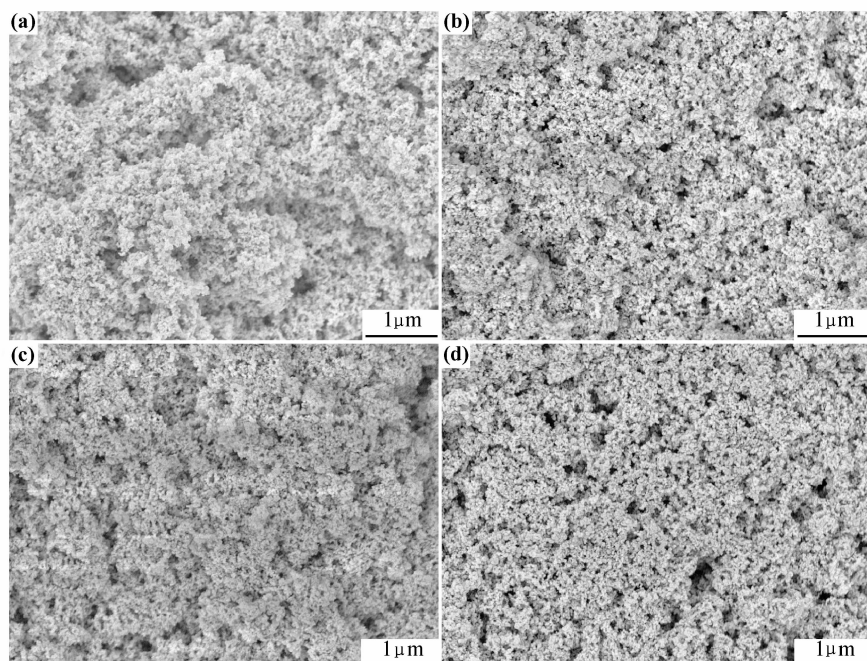
Fig. 4 UV-Vis spectra of the different addition

能是因为,随着掺合量的增加,半导体的准费米能级增高,当其进入导带,本征光吸收边就会向短波方向移动(见图3),这就是Burstein-Moss<sup>[10]</sup>效应;在载流子浓

度较高的情形下,费米能级  $E_f$  将进入导带内,这将对吸收边产生影响。对于 N 型半导体,当  $E_f$  进入导带后,  $E_f$  以下的状态将被电子占满。价带电子只能向  $E_f$  以上的导带电子态跃迁,因此,随着掺合量的提高,吸收阈值将向高能方向移动,吸收降低。

### 2.3 表面形貌分析

图 5 是印刷法制备 TiO<sub>2</sub> 薄膜电极和 CuAl<sub>2</sub>O<sub>4</sub>/TiO<sub>2</sub> 复合薄膜的扫描电镜图。由图 5 可以看出,薄膜中颗粒均匀分布,没有明显的团聚。进一步观察看到, TiO<sub>2</sub> 薄膜表面起伏不平,颗粒之间结构松散,而 CuAl<sub>2</sub>O<sub>4</sub>/TiO<sub>2</sub> 复合薄膜表面相对均匀平整,颗粒排列紧密有序。其原因可能是由于 CuAl<sub>2</sub>O<sub>4</sub> 的引入,改善了印刷浆料,提高了浆体的可塑性和稳定性,有利于丝网与薄膜的提拉分离,从而改善薄膜的形貌结构。

图 5 TiO<sub>2</sub> 薄膜和 CuAl<sub>2</sub>O<sub>4</sub>/TiO<sub>2</sub> 薄膜的 SEM 图 (a)0%CuAl<sub>2</sub>O<sub>4</sub>; (b)1%CuAl<sub>2</sub>O<sub>4</sub>; (c)2%CuAl<sub>2</sub>O<sub>4</sub>; (d)3%CuAl<sub>2</sub>O<sub>4</sub>Fig. 5 The SEM images of TiO<sub>2</sub> thin film and CuAl<sub>2</sub>O<sub>4</sub>/TiO<sub>2</sub> thin film (a)0%CuAl<sub>2</sub>O<sub>4</sub>; (b)1%CuAl<sub>2</sub>O<sub>4</sub>; (c)2%CuAl<sub>2</sub>O<sub>4</sub>; (d)3%CuAl<sub>2</sub>O<sub>4</sub>

### 2.4 光电性能分析

图 6 是 TiO<sub>2</sub> 薄膜光阳极和 CuAl<sub>2</sub>O<sub>4</sub>/TiO<sub>2</sub> 薄膜光阳极的伏安特性曲线,表 1 是 TiO<sub>2</sub> 薄膜光阳极电池和 CuAl<sub>2</sub>O<sub>4</sub>/TiO<sub>2</sub> 薄膜光阳极电池的性能参数。

由图 6 和表 1 中可以看出,随着 CuAl<sub>2</sub>O<sub>4</sub> 掺合量的增加,电池的开路电压明显增加,当掺合量为 2% 时,电池的开路电压达到 0.77V, 接近理论值<sup>[11]</sup> (0.7~0.8V),比纯 TiO<sub>2</sub> 薄膜光阳极的开路电压增加 10%。开路电压  $V_{oc}$  可以定义为:光照下 TiO<sub>2</sub> 薄膜中电子准费米能级  $E_f$  与电解质氧化还原电对的 Nernst 电势  $E_{redox}$  之差<sup>[12]</sup>,可由公式(2)表示:

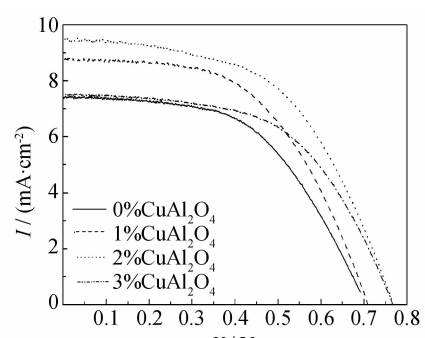


图 6 薄膜光阳极的伏安特性曲线

Fig. 6 I-V characteristics of the thin film photoanodes

表 1 电池的性能参数

Table 1 Performance parameters of the cell

Sample	$V_{oc}/V$	$I_{sc}/(mA \cdot cm^{-2})$	FF	$\eta/\%$
a	0.70	7.46	0.53	2.79
b	0.72	9.86	0.48	3.38
c	0.77	9.55	0.53	3.88
d	0.77	7.56	0.55	3.19

$$V_{oc} = 1/q(E_f - E_{redox}) \quad (2)$$

其中: $q$  为完成一个氧化还原过程所需要的电子数。掺合后开路电压增大可能是由于  $TiO_2$  是 N 型半导体;对于 N 型半导体,掺合量越高半导体中电子的准费米能级越靠近导带,准费米能级增高,由公式(2)可知,开路电压增大。

从图 6 可以看出,掺合后电池的短路电流密度先增加后减小,原因可能是多方面的:掺合后,吸收边红移,吸收增强(见图 4),产生更多的光电子,电池的电流密度增加。

随着掺合量的增加,电流密度有所减小(见图 5);可能是因为掺合使  $TiO_2$  电子浓度和空穴浓度平衡值增加;增加的那部分载流子称为过剩载流子,过剩载流子在数量上对多子和少子的影响明显不同,多数载流子的数量一般很大,过剩载流子通常不会对它的数量产生显著影响。但它对少数载流子数量的影响十分显著,少数载流子(空穴)的浓度一般增加几个数量级<sup>[13]</sup>,导致光生电子和空穴之间的平均距离明显缩短;此时,电子和空穴复合的几率将变大,光生电子不能完全转化为有效电流,电流密度降低。

此外,文献[14]指出,光电子的注入过程将在  $TiO_2$ /染料/电解质界面引起一瞬时电场。该电场可能是由电子、空穴相反电荷间的库仑吸引引起的,这一光诱导的电场将会促进电子-空穴复合<sup>[15]</sup>,导致电流密度降低。另外,随着掺合量的增加,出现 Burstein-Moss<sup>[10]</sup> 效应。吸收阈值将向高能方向移动,吸收边蓝移,电流密度降低。

电池的填充因子(FF)比较低,这可能与电池的封装有一定的关系,与其理论值( $0.65 \sim 0.75$ )<sup>[11]</sup>还有一定的差距,提高电池的填充因子,是未来的主要研究方向之一。

### 3 结论

(1)通过掺合  $CuAl_2O_4$  制备的  $CuAl_2O_4/TiO_2$  薄

膜光阴极可提高电池的开路电压和短路电流密度。

(2)当  $CuAl_2O_4$  含量为 2% 时光电转化效率与纯  $TiO_2$  薄膜光阴极相比,提高了 39.1%,达到 3.88%。

### 参考文献

- [1] BRIAN O R, MICHAEL G. A low-cost high-efficiency solar cell based on dye-sensitized colloidal  $TiO_2$  films[J]. Nature, 1991, 353:737—740.
- [2] YASUO CHIBA, ASHRAFUL ISLAM, YUKI WATANABE. Dye-sensitized solar cells with conversion efficiency of 11.1%[J]. JJAP, 2006, 45(25):L638—L640.
- [3] 胡志强, 李国, 于仙仙, 等. 染料敏化太阳能电池  $MO/TiO_2$  复合薄膜的制备与表征[J]. 功能材料增刊, 2007, 38:1546—1549.
- [4] 骆凡, 吴季怀, 林建明, 等. 纳米晶  $CuAl_2O_4$  的合成、表征及光催化性的研究[J]. 中国科技论文在线, 2008, 3(4):263—267.
- [5] 姜彦妍, 李景刚, 宁桂玲, 等. 尖晶石型  $CuAl_2O_4$  纳米粉体的制备及其可见光催化性能[J]. 硅酸盐学报, 2006, 34(9):1084—1087.
- [6] 隋小涛, 于桥, 姜彦妍, 等. 纳米  $CuAl_2O_4$  粉体的合成工艺条件及其表征[J]. 传感技术学报, 2006, 19(5):2351—2353.
- [7] AYANA T, TOKUSHI S. Luminescence channels of manganese-doped spinel [J]. J Lumin, 2004, 109: 19—24.
- [8] NOSHIR S P, KATHLEEN J S, PETER C S. Determination of the particle size distribution of quantum nanocrystals from absorbance spectra[J]. Adv Mater, 2003, 15(15):1289.
- [9] 季振国, 半导体物理[M]. 杭州:浙江大学出版社, 2005.
- [10] 朱顺明, 叶建东, 顾树林, 等. Ga 掺杂  $ZnO$  薄膜的 MOCVD 生长及其特性[J]. 半导体学报, 2005, 26(8):1567—1571.
- [11] FRANK A J, KOPIDAKIS N, LAGEMAAT J. Electrons in nanostructured  $TiO_2$  solar cells: transport, recombination and photovoltaic properties[J]. Coordination Chemistry Rev, 2004, 248:1165—1179.
- [12] 孙世国, 徐勇前, 石磊, 等. 染料敏化纳米晶体光电池[J]. 当代化工, 2004, 33(1): 47—50.
- [13] 叶良修. 半导体物理[M]. 2 版. 北京:高等教育出版社, 2007.
- [14] SUZANNE F, ARIE Z, BRIAN A, et al. Dye sensitization of nanocrystalline tin oxide by perylene derivatives[J]. phys chemistry B, 1997, 101:4490—4493.
- [15] BRIAN A, GREGG. Interfacial processes in the dye-sensitized solar cell[J]. Coordination Chemistry Reviews, 2004, 248(13—14):1215—1224.

基金项目:国家(863)高技术研究发展计划资助项目(2006AA05Z417);大连市科技平台建设项目(2010-354)

收稿日期:2011-08-03;修订日期:2011-12-21

作者简介:胡志强(1956—),男,教授,现从事材料化学合成和功能薄膜材料研究工作,联系地址:大连工业大学化工与材料学院(116034),E-mail:hzq@dlpu.edu.cn